

香港、カリフォルニア群馬焼結鐵を使用した場合には順調に操業する事ができ銑の S も 0.05~0.06% に保持できたが群馬、アフリカ鐵石を使用した際には S を低くする事ができなかつたので順調に操業を続けた期間の操業成績を比較した。これらの操業成績は第 2 表に示した通りである。

鐵石の種類が異なる場合には鐵分含有量、S 含有量が異なる間接還元率と出銑量との間には明らかな関係は見られない、磁鐵鐵の香港、カリフォルニアを使用した場合には出銑量は 2.8~2.9 倍で 3 倍高爐では普通の出銑量だが銑鐵の Si 含有量が低い。赤鐵鐵のアフリカ鐵石の場合は装入鐵石/装入コーカスが香港鐵石より小なるにもかかわらずの鐵石の鐵分含有量が多い間で出銑量は増加した。

褐鐵鐵の群馬鐵石を使用した際には鐵石の硫黃含有量が多い間で銑滓の流動性が不良であり、爐床溫度は低下し且つ出銑量は減少した。又鐵石の S 含有量が非常に多い間で銑の S 含有量もかなり高くなつた。

群馬燒結鐵石の場合は出銑量は少ないので爐況は順調で銑の S も低い。間接還元率は褐鐵鐵の群馬が最も良く次いで燒結、カリフォルニア、香港、ユタ、アフリカの順である。従来の説によると還元性は褐鐵鐵が最も良く、次いで赤鐵鐵が良く、磁鐵鐵が最も悪い。従つて間接還元率も褐鐵鐵が最も大きく赤鐵鐵が次に良いと言はれているが當試験の結果はこの説と一致しない。そこで鐵石の粒度の影響が關係しているのではないかと考え、これ等の鐵石の粒度分布を調べると粒度の大きい鐵石を多く含むもの間接還元率は小さい。従つて 5~40mm 程度の鐵石では種類よりサイズが間接還元に大きな影響を及ぼすと言える。

#### (b) 爐内に於ける鐵石の還元状況

中部シャフトに於ける鐵石の還元率は大きいサイズの鐵石を多く含むもの程還元し難い。

## V. 結論

(1) 高爐間接還元促進には原料鐵石の粒度の影響が特に大きく同一種類の鐵石の場合はサイズが小さい程間接還元率は増大し、出銑量は増加しコーカス比は低下する。ユタ鐵石について例示すると粒度 30~40mm の時には出銑量 2.223kg/day であるのに粒度を 50~10mm にすると 4.197kg/day となり出銑量は甚しく向上する。

(2) 5~40mm 程度のサイズの鐵石ではその種類よりサイズが間接還元に大きな影響を及ぼす。

(3) 爐内の比較的低温の部分であるシャフトで還元

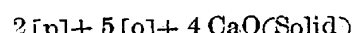
が進行する程間接還元率は大きくなる

(4) 鐵石の種類装入鐵石/装入コーカスが一定の場合にはサイズが小さい程銑の Si 含有量は増加する。

## (63) 固體石灰による銑鐵の脱燐に関する熱力学的考察

名古屋大學教授 理博 佐野 幸吉  
名古屋大學講師 工坂 尾弘

鐵鋼の脱燐の條件として強鹽基性、強酸化性、低温精鍊が望ましいことは從來よく知られている所であるが脱燐の基礎的平衡關係について殆ど報告されていない。最近 Bookey<sup>1)</sup> は熔鐵中の P, O, (以下 [p], [o] と記す) と 1600°C 以上まで殆ど相互溶解度を有しない固體 CaO, 固體 Ca<sub>4</sub>P<sub>2</sub>O<sub>9</sub> との間の平衡關係を測定して次の様な結果を報告している。



$$K_1 = 1/a_p^2 \cdot a_o^5 \quad (1) \text{ a}$$

$$\Delta F^\circ_1 = -349,100 + 145 \cdot 4 T \quad (1) \text{ b}$$

但し  $a_p$  及び  $a_o$  は夫々 [p] 及び [o] の活動量を表す。

著者等はこの結果を用いて CaO で飽和した FeO-銅滓による銑鐵 (Si を含有しない) の脱燐限度について計算を試みた。CaO で飽和した FeO-銅滓は平衡狀態では勿論銑鐵と共存することは出来ないのであるが適當な方法により (例えば低温精鍊は不完全ではあるがその一方法)  $\text{[C]} + \text{[O]} \rightarrow \text{CO}$  反応の進行を極力抑制して  $a_o$  を期待し得る最高の値即ち  $\text{Ca}_4\text{P}_2\text{O}_9$  の共存に於いて CaO で飽和した FeO-銅滓の解離酸素壓に達せしめることが出来たと假定する。著者等はこの條件に於ける脱燐限度を計算したのである。

(1) a より

$$\log a_p = -1/2(\log K_1 + 5 \log a_o) \quad (2)$$

Bookey<sup>1)</sup> 等の測定結果より  $\log K_1$  と溫度との關係は次の様になる。

溫度 °C	1200	1300	1400	1500
$\log K_1$	-134,900	-120,400	-105,800	-91,300
$\Delta F^\circ_1$	20.02	16.73	13.82	11.26

$a_o$  は CaO で飽和した FeO-銅滓と平衡する熔鐵中の酸素含量に相當し之は Fischer<sup>2)</sup> 等の測定結果即ち

$$\log[\text{O}\%] = \log a_o = -4030/T + 1.13 \quad (3)$$

なる關係より次の様に求めることが出来る。

溫度 °C	1200	1300	1400	1500
$\log a_o$	-1.61	-1.43	-1.28	-1.14
$a_o$	0.025	0.037	0.053	0.073

但し之等の溫度では鐵は溶液ではなく Fischer<sup>2)</sup> の式は成立たないが後程の計算の爲に過冷せるものとして外挿した。又  $a_o$  は CaO で飽和した場合の値であるが Fischer によれば SiO<sub>2</sub> で飽和した場合と殆ど同量であるから CaO と相互溶解度を有しない Ca<sub>4</sub>P<sub>2</sub>O<sub>9</sub> が共存しても餘り變化しないものと推察される。

(2) に  $\log K_1$  及び  $\log a_o$  を代入して  $a_p$  と溫度との關係を求めるとき次の様になる。

溫度 °C	1200	1300	1400	1500
$\log a_p$	-5.99	-4.79	-3.71	-2.78
$a_p$	$1.02 \cdot 10^{-6}$	$1.62 \cdot 10^{-5}$	$1.95 \cdot 10^{-4}$	$1.66 \cdot 10^{-3}$

$a_p$  と [P%] との間には次の様な關係が成立つものとする。

$$a_p = f_p \cdot [P\%] = f'_p \cdot f_p^o \cdot f_p^c \cdot [P\%] \quad (4)$$

但し  $f_p$  は熔鐵中に P, O, O の共存する場合の P の活動係数、 $f'_p$  は  $f_p$  の中 P のみの寄與、 $f_p^o$  は  $f_p$  の中 O のみの寄與、 $f_p^c$  は  $f_p$  の中 C のみの寄與を表す。

(i)  $f'_p$  及び  $f_p^o$  について

Bookey<sup>1)</sup> 等の脱磷平衡の測定結果より 1540°C において  $a_p$  と  $f'_p \cdot f_p^o$  の關係を求めることができると想する。然し  $f'_p \cdot f_p^o$  と溫度との關係は不明の爲  $RT' \ln f_p = bN_2^2$  なる式と假定して之を求めるとき次の様になる。

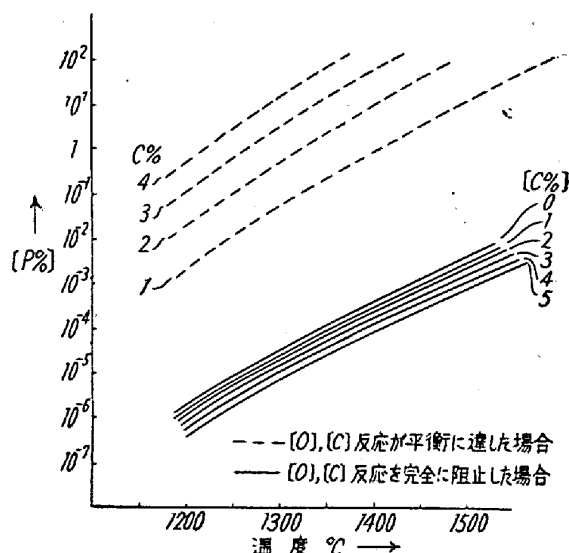
溫度 °C	1200	1300	1400	1500
$a_p$	0.025	0.037	0.053	0.073
$f'_p \cdot f_p^o$	0.55	0.45	0.39	0.34

(ii)  $f_p^c$  について

[P] の活動係数に及ぼす C の影響については現在の所文献が見當らないので Fe-P 系狀態図と Fe-Si 系のそれとが類似している點並びに熔鐵の黒鉛溶解度に及ぼす P の影響と Si のそれとが類似している點から考えて C が P の活動係数に及ぼす影響は C が Si に及ぼす影響に等しい即ち  $f_p^c = f_{Si}^c$  と假定する。  $f_{Si}^c$  については Körber 及び Oelsen<sup>3)</sup> が  $SiO_2 + 2[Mn] \rightleftharpoons 2MnO + [Si]$  なる反応の平衡に及ぼす C の影響について測定した結果より求めることができる。第1表は [C%] と  $f_{Si}^c$  との關係を各溫度について求めた結果を示す。従つて  $f_p^c$  と [C%] との關係は次の様になる。

溫度 °C	1200 ~ 1500					
[C%]	0	1	2	3	4	5
$f_p^c$	1.0	1.2	1.6	2.2	3.1	5.0

(4) に  $f'_p \cdot f_p^o$  及び  $f_p^c$  の値を代入して [P%] と [C%] の關係を各溫度について計算すると第2表及び第1圖に示す様な結果になる。之等には事實上存在しない狀態例えば 1200°C で C が 0, 1, 2, 3, 5% の如き場合でも外挿値として示してある。



第1圖 熔鐵の脱磷限度に及ぼす[C]及び溫度の影響

第1表 [C%] と  $f_{Si}^c$  との關係

[C%]	$f_{Si}^c$			
	1400°	1500°	1600°	Kitchener <sup>4)</sup> 1600°
0	(1.0)	1.0	1.0	1.0
1	(1.2)	1.2	1.2	1.4
2	1.6	1.6	1.6	2.0
3	2.2	2.2	2.3	2.7
4	3.1	3.1	3.3	3.6
5	5.0	4.9	—	4.7

( ) 内數値は外挿値

第2表 熔鐵の脱磷限度に及ぼす [C%] 及び溫度の影響

[C%]	[P%]			
	1200°	1300°	1400°	1500°
0	$1.85 \cdot 10^{-6}$	$3.60 \cdot 10^{-5}$	$5.00 \cdot 10^{-4}$	$4.88 \cdot 10^{-3}$
1	$1.54 \cdot 10^{-6}$	$3.00 \cdot 10^{-5}$	$4.17 \cdot 10^{-4}$	$4.07 \cdot 10^{-3}$
2	$1.16 \cdot 10^{-6}$	$2.25 \cdot 10^{-5}$	$3.13 \cdot 10^{-4}$	$3.05 \cdot 10^{-3}$
3	$0.84 \cdot 10^{-6}$	$1.64 \cdot 10^{-5}$	$2.27 \cdot 10^{-4}$	$2.22 \cdot 10^{-3}$
4	$0.60 \cdot 10^{-6}$	$1.16 \cdot 10^{-5}$	$1.61 \cdot 10^{-4}$	$1.57 \cdot 10^{-3}$
5	$0.37 \cdot 10^{-6}$	$0.72 \cdot 10^{-5}$	$1.00 \cdot 10^{-4}$	$0.98 \cdot 10^{-3}$

以上計算した結果は熔鐵に最大限の  $a_{\text{O}}$  を維持させ  $[\text{C}] + [\text{O}] \rightarrow \text{CO}$  反応を出来るだけ抑制して固體石灰により脱磷した場合の限度を示すものである。第2表より明かな様に  $1500^{\circ}\text{C}$  で C を含まない熔鐵を固體石灰で脱磷する場合は  $0.005\%$  P 迄下げる事が出来るが C を 4% 含む鉄ではその約  $1/3$  の  $0.0016\%$  P 迄脱磷することが出来る。然しこの場合  $[\text{C}]$ ,  $[\text{O}]$  反応が起りかりに  $a_{\text{O}}$  が半減したとすれば  $[\text{C} \%]$  は殆ど変化しないにも拘らず熔鐵中の  $[\text{P} \%]$  は 5 倍以上にも増加し脱磷効果はそれだけ悪くなる。更に  $[\text{O}]$  が  $[\text{C}]$  と平衡する値に迄下つた場合は  $a_{\text{O}}$  は非常に小さくなり從つて脱磷限度は第1圖に示す如く問題にならない程高い値となる。然し乍ら C を含有せしめることによつて被脱磷性を増大し熔融點を下げて低温精錬を行えば脱磷限度自體が非常に低いこと並びに  $[\text{C}]$ ,  $[\text{O}]$  の反応速度が小さいことが相まって良好な脱磷効果を得ることが期待出来る。

尙ほこの計算に使用した Bookey 等<sup>1)</sup> の実験結果は測定温度範囲が狭いこと ( $1540\sim1580^{\circ}\text{C}$ ) 並びに計算中に設けた假定の不確実さから之等を低温に外挿する程又 C が増加する程誤差が大きくなることは明記されなければならない。

- 1) F. B. Bookey, F. D. Richardson & A. F. E. Welch; Jnl. Iron & Steel Inst. 171 (1952) 404.
- 2) W. A. Fischer & H. Ende; Archiv. Eisenhüttenwes. 23 (1952) 21.
- 3) F. Körber & W. Oelsen; Stahl. u. Eisen 57 (1937) 1349.
- 4) J. A. Kitchener, J. OM. Bockris & D. A. Sprott; Trans. Faraday Soc. 48 (1952) part 7, 608.

#### (64) 人工フアイヤライトのガス還元に就いて

富士製鐵 廣畠製鐵所 研究課 高橋愛和

#### I. 緒言

筆者は先に種々の酸化、還元雰囲氣中にて作製せる團鑄試料、及び主な製鐵所にて生産せる實際の燒結鑄試料に關してその被還元性の測定を行い、被還元性と顯微鏡組織の關係について検討したが、それ等の結果よりすれば、實際の燒結鑄試料に於てはその被還元性、強度共に燒結鑄の酸化度と深い關係を有し、酸化度高きものは被還元性が良好であるが強度低く、酸化度低きものは強度が高いが被還元性悪く、強度と被還元性との間には相

反關係が存在すること、又燒結鑄の被還元性は構成する酸化鐵粒子の存在状態によつても支配されるが更に共存する matrix の影響が極めて大きいと考へられた。最近に於ける優良燒結鑄の動向としては、被還元性の良い從つてフアイヤライトの如きものを生成せしむべきではないと云う方向に向ひつゝあるが、一方その強度も忽に出来ず、成可く強度を害ふことがない様にと云う要望も強い。優良燒結鑄については今後實際の燒結鑄に依る高爐作業の成績に俟たねばならぬが一方に於て、酸化鐵粒子の生成状態及び matrix を形成すると考へられる人工鑄物の鑄物學的組織とその被還元性の決定に期待する所も大きい。例へばフアイヤライトを生成せしめてもその被還元性の低下は多孔質と云う性質によつて補はれ得ると云う主張の如きも、フアイヤライトの還元が如何に困難であるかと云うことを知れば、燒結鑄の多孔性と云うことを過信する危険は少いであろう。以上の如き觀點から先づフアイヤライトのガス還元の舉動を検討し、順次  $\text{FeO-SiO}_2-\text{CaO}$  系、 $\text{Fe}_3\text{O}_4-\text{SiO}_2-\text{CaO}$  系、 $\text{Fe}_2\text{O}_3-\text{SiO}_2-\text{CaO}$  系等鐵の複合酸化物の鑄物學的組成及びそのガス還元の舉動を検討することは實際問題に關しても重要であるばかりでなく、鑄物學的にも興味深い課題である。

茲にはその一段階として、赤鐵鑄、磁鐵鑄、Wüstiteについてその被還元性を検討すると共に、人工フアイヤライトについて  $900\sim1,100^{\circ}\text{C}$  に亘り CO 及び  $\text{H}_2$  による還元の舉動を検討した結果について報告する。

#### II. 實驗方法

人工フアイヤライトについては可成く不純物の少いフアイヤライトを作ること、還元試料としては可成りの大きいきを有すること、高温に於ける還元中に坩堝との反應を少くすること等の點を考慮して次の如くして作られた豫め  $40\%\text{CO}-60\%\text{CO}_2$   $1,000^{\circ}\text{C}$  にて豫備還元して作りたる Wüstite の粉末と  $\text{SiO}_2$  (石英砂粉末)とをフアイヤライトの組成に混合し、 $1,100^{\circ}\text{C}\sim1,200^{\circ}\text{C}$ ;  $40\%\text{CO}-60\%\text{CO}_2$  気流中にて Ni ポートにて豫備焼結せしめる。一度  $40\%$  粒碎し再び小さな Ni ポートに入れて  $1,250^{\circ}\text{C}$ ;  $\text{CO}-60\%\text{CO}_2$  気流中にて短時間熔融せしめ、酸化を防ぎつゝ冷却する。Ni ポートを外してカーボランダムにて長さ  $15\text{mm}$ 、幅  $6\text{mm}$  の板状に約  $1\text{g}$  になる迄削り落して成形する。それを細い Ni 線にて結びそのまま石英紐を用いて石英スプリングバランスに垂し、 $\text{N}_2$  気流中で加熱して所定の還元溫度に加熱し、 $50\text{c.c./min}$  の CO 又は  $\text{H}_2$  を通じて還元を行い、讀取顯微鏡にてスプリングの伸びの變化を讀んで還元曲線を求める。酸化鐵の試料も